

# О ФОРМИРОВАНИИ ПОТЕНЦИАЛА УДЕРЖАНИЯ В ДВУХЭЛЕКТРОННОЙ КВАНТОВОЙ ТОЧКЕ

*M. Динейхан, С. А. Жаугашева*

*Казахский государственный университет им. аль-Фараби  
480012, Алматы, Казахстан*

*R. Г. Назмитдинов \**

*Лаборатория теоретической физики им. Н. Н. Боголюбова  
Объединенный институт ядерных исследований  
141980, Дубна, Московская обл., Россия*

Поступила в редакцию 17 августа 2000 г.

Предложена и проанализирована модель квантовой точки для двух взаимодействующих электронов. Свойства внешней среды, определяющей характер потенциала удержания электронов, моделируются с помощью электростатического поля заряда изображений. С использованием представления гамильтонiana системы в виде суммы гамильтонианов центра масс и относительного движения в рамках метода осцилляторного представления [16] получены аналитические выражения для собственных значений каждой из подсистем с учетом внешнего магнитного поля. Найдено, что относительное движение электронов ответственно за потенциал удержания, который отличается от потенциала параболического конфайнмента и зависит как от эффективной массы электрона, так и от характеристик заряда изображений.

PACS: 73.20.Dx, 73.23.-b

## 1. ВВЕДЕНИЕ

Прогресс в современной технологии позволяет создавать полупроводниковые nanoструктуры — квантовые точки [1–3], — в которых конечное число электронов удается «запереть» в ограниченном объеме с размерами порядка атомных. При этом квантовая точка ассоциируется с квантовой ямой, образованной на границе раздела двух полупроводников конечных размеров, например GaAs и GaAlAs, вследствие разных энергетических положений запрещенных зон в этих полупроводниках. Кроме того, важную роль играют внешние контакты, позволяющие регулировать свойства квантовой ямы. Наличие дискретных уровней и даже проявление оболочечной структуры, которая была предсказана [4, 5] и экспериментально обнаружена [6] в квантовых точках, дает основание называть их искусственными атомами. Возможность контролировать и управлять свойствами квантовых точек привлекает к ним огромный интерес, так как они могут быть использованы,

например, в качестве новой элементной базы для будущих компьютеров [2].

Самым простейшим образом таких систем, в котором можно проследить существенные особенности и более сложных комплексов, является двухэлектронная квантовая точка.

Используя гипотезу о том, что эффективный потенциал удержания электронов в квантовой точке соответствует потенциальну параболического конфайнмента, удается описать [7–9] характерные особенности транспортных явлений [10] и осцилляции спина основного состояния квантовой точки в магнитном поле [11]. Однако в зависимости от условий эксперимента электронные корреляции могут существенно влиять на характер потенциала удержания. В частности, описание экспериментов с фотоизлучением [12] в квантовой точке требует введения ангармонических поправок [13] к потенциальну параболического конфайнмента. Возникает естественный вопрос о природе механизма формирования потенциала удержания в квантовой точке.

Каковы должны быть условия возникновения в

\*E-mail: rashid@thsun1.jinr.ru

квантовой точке, например, потенциала параболического конфайнмента? Какие характеристики системы могут привести к подавлению ангармонизма или, наоборот, вызвать эти эффекты?

Целью данной работы является анализ механизма формирования потенциала удержания в двухэлектронной квантовой точке во внешнем постоянном магнитном поле. Внешнее напряжение, приложенное к слоистойnanoструктуре, и свойства контактов различной геометрии, связывающих квантовую точку с внешней средой, — это одни из основных составляющих, которые ответственны за формирование потенциала удержания в квантовой точке в режиме кулоновской блокады [2, 3]. Мы исходим из того, что при описании механизма формирования квантовых точек малых размеров с небольшим числом электронов квантовомеханические эффекты играют существенную роль. Далее, мы предполагаем, что квантовая яма однородна по диэлектрическим свойствам, а в целом система неоднородна, и должны выполняться условия непрерывности тангенциальных производных потенциалов. Эти предположения приводят к введению эффективного положительного заряда изображений, который ассоциируется с внешними факторами.

Этот прием хорошо известен в электростатике при изучении свойств диэлектриков [14]. Таким образом, мы предполагаем, что существенную роль в формировании потенциала удержания играет потенциал изображений, обусловленный, в частности, большой разностью диэлектрических проницаемостей слоев, которые образуют квантовую точку, например вакуум и полупроводник или полупроводник и диэлектрик<sup>1)</sup>.

Мы рассмотрим кулоновскую систему трех тел во внешнем магнитном поле, которая состоит из двух электронов и заряда изображений. Отметим, что в нашей постановке задачи заряд изображений может быть ассоциирован и с примесью в квантовой точке.

Наш анализ основан на методе осцилляторного представления [16], который был успешно применен при расчете энергетического спектра системы, управляемой кулоновским и степенным потенциалами, а также кулоновским потенциалом и потенциалом Юкавы [17]. Структура статьи следующая. В разд. 2 обсуждается гамильтониан модели трех тел, который можно разделить на гамильтониан системы

центра масс и гамильтониан относительного движения. В разд. 3 дан анализ гамильтониана относительного движения. В разд. 4 приведены примеры расчета энергетического спектра двухэлектронной системы для двумерного случая на основе результатов из разд. 3. В Заключении суммированы основные результаты статьи. В Приложении даны некоторые технические детали вычислений в рамках метода осцилляторного представления.

## 2. ФОРМУЛИРОВКА МОДЕЛИ

Квантовую точку, содержащую небольшое число электронов, можно рассматривать как модель атома, в которой аналогом ядра является эффективный положительный заряд изображений. Наша задача — определить потенциал удержания электронов исходя из кулоновского взаимодействия между электронами и изображенным зарядом в рамках квантовомеханического формализма. Для этого рассмотрим систему трех тел с кулоновским взаимодействием во внешнем постоянном магнитном поле. Пусть  $m_1, m_2, m_3$  — массы, а  $-Z_1e, -Z_2e, -Z_3e$  — заряды частиц. Гамильтониан системы можно записать в следующем виде:

$$H = \frac{1}{2} \sum_{j=1}^3 \frac{1}{m_j} \left[ \mathbf{P}_j + \frac{e}{c} \mathbf{A}(r_j) \right]^2 + \frac{1}{4\pi\epsilon\epsilon_0} \frac{Z_1 Z_2 e^2}{|\mathbf{r}_1 - \mathbf{r}_2|} - \frac{1}{4\pi\epsilon\epsilon_0} \frac{Z_1 Z_3 e^2}{|\mathbf{r}_1 - \mathbf{r}_3|} - \frac{1}{4\pi\epsilon\epsilon_0} \frac{Z_2 Z_3 e^2}{|\mathbf{r}_2 - \mathbf{r}_3|}. \quad (1)$$

Здесь  $\epsilon$  и  $\epsilon_0$  — относительная и абсолютная диэлектрические проницаемости, а  $\mathbf{A}(\mathbf{r})$  — вектор-потенциал, который определяется стандартным образом:

$$\mathbf{A}(\mathbf{r}) = \frac{1}{2} [\mathbf{B} \times \mathbf{r}], \quad (2)$$

где  $\mathbf{B}$  — напряженность внешнего магнитного поля. Введем координаты Якоби  $\{\mathbf{x}, \mathbf{y}\}$  и координаты центра масс  $\mathbf{R}$ :

$$\begin{aligned} \mathbf{r}_1 &= \frac{m_2}{m_1 + m_2} \mathbf{x} + \frac{m_3}{m_1 + m_2 + m_3} \mathbf{y} + \mathbf{R}, \\ \mathbf{r}_2 &= -\frac{m_1}{m_1 + m_2} \mathbf{x} + \frac{m_3}{m_1 + m_2 + m_3} \mathbf{y} + \mathbf{R}, \\ \mathbf{r}_3 &= -\frac{m_1 + m_2}{m_1 + m_2 + m_3} \mathbf{y} + \mathbf{R}. \end{aligned} \quad (3)$$

В квантовых точках потенциал удержания характеризуется достаточно сильным запиранием по одной из трех ( $x$ ,  $y$  или  $z$ ) координатных осей. В результате

<sup>1)</sup> См., например, дискуссию о роли потенциалов изображений при формировании экситонов в nanoструктурах типа сверхрешеток и квантовых ям [15].

низколежащие квантовые возбуждения определяются свойствами потенциала запирания по оставшимся двум осям. Следовательно, с геометрической точки зрения, квантовые точки можно рассматривать как эффективные двумерные системы. Внешнее магнитное поле можно ориентировать, например, в плоскости, перпендикулярной плоскости квантовой точки. Предположим, что пересечение этих плоскостей является линейным и направляется только по  $\mathbf{x}$ , или  $\mathbf{A}(y) = 0$ . Учитывая это допущение, после ряда упрощений гамильтониан (1) можно разделить на две части: гамильтониан системы центра масс

$$H_{cm} = \frac{1}{2}\mathbf{P}_Q^2 + \frac{\hbar^2}{4} \frac{m^*}{m_t} \omega_c^2 \rho_Q^2 + \frac{m^*}{2m_t} \hbar \omega_c L_z \quad (4)$$

и гамильтониан относительного движения

$$\begin{aligned} H_{rm} = & \frac{1}{2M} \mathbf{P}_x^2 + \frac{1}{2\mu} \mathbf{P}_y^2 + m^* \frac{\rho_x^2}{16} \omega_c^2 + \frac{e^2}{4\pi\varepsilon\varepsilon_0} \frac{Z_1 Z_2}{|\mathbf{x}|} - \\ & - \frac{e^2}{4\pi\varepsilon\varepsilon_0} \frac{Z_1 Z_3}{|\mathbf{y}+\mathbf{x}/2|} - \frac{e^2}{4\pi\varepsilon\varepsilon_0} \frac{Z_2 Z_3}{|\mathbf{y}-\mathbf{x}/2|} + \frac{1}{2} \hbar \omega_c L_{xz}. \end{aligned} \quad (5)$$

Здесь  $\omega_c = eB/cm^*$  — циклотронная частота,  $m_1 = m_2 = m^*$  — эффективная масса электрона и введены следующие обозначения:

$$\begin{aligned} M &= \frac{1}{2} m^* = \frac{m_1 m_2}{m_1 + m_2}, \quad \mu = \frac{(m_1 + m_2)m_3}{m_t}, \\ m_t &= m_1 + m_2 + m_3, \quad \mathbf{Q} = \frac{\sqrt{m_t}}{\hbar} \mathbf{R}, \\ \rho_Q^2 &= Q_1^2 + Q_2^2. \end{aligned} \quad (6)$$

Вследствие наличия магнитного поля каждый гамильтониан содержит проекции углового момента  $\mathbf{L} = -i\hbar[\mathbf{r} \times \Delta_r]$  на ось  $z$  в собственных системах координат. Соответственно, операторы  $L_{xz}$  и  $L_z$  являются проекциями углового момента в системах координат относительного движения ( $\mathbf{r} \equiv \mathbf{x}$ ) и центра масс ( $\mathbf{r} \equiv \mathbf{Q}$ ).

Отметим, что кулоновское взаимодействие не дает вклада в гамильтониан движения центра масс (4). Решения для гамильтониана центра масс при наличии потенциала параболического конфайнмента впервые обсуждались Фоком и хорошо известны в литературе как уровни Фока–Дарвина [18]. Однако в рассматриваемом случае, когда мы не предполагаем априори существования потенциала удержания, например потенциала параболического конфайнмента, собственные значения гамильтониана центра масс имеют вид

$$E_{NM} = (2N + |M| + 1) \sqrt{\frac{m^*}{2m_t}} \hbar \omega_c + \frac{m^*}{2m_t} M \hbar \omega_c, \quad (7)$$

где  $N = 0, 1, 2, \dots$  — радиальное квантовое число и  $M = 0, \pm 1, \pm 2, \dots$  — квантовое число углового момента. В отличие от решений Фока–Дарвина, которые зависят от потенциала параболического конфайнмента и циклотронной частоты, энергетический спектр движения центра масс в нашей модели определяется кинетической энергией электронов, т. е. только циклотронной частотой, и зависит от отношения эффективной массы электрона к сумме масс составляющих систем. Для анализа гамильтониана относительного движения перейдем к новым переменным

$$\mathbf{r} = \frac{\sqrt{M}}{\hbar} \mathbf{x}, \quad \zeta = \frac{\sqrt{\mu}}{\hbar} \mathbf{y}. \quad (8)$$

Далее, мы предполагаем, что заряд изображений,  $Z_3$ , зависит не только от величины эффективного электрического заряда  $Q$ , но и от соотношения диэлектрических проницаемостей сред:

$$Z_3 = \sqrt{\frac{\varepsilon}{\varepsilon'}} \frac{|\varepsilon - \varepsilon'|}{\varepsilon + \varepsilon'} Q,$$

где  $\varepsilon$  и  $\varepsilon'$  — относительные диэлектрические константы, например, полупроводника и диэлектрика. Соответствующее уравнение Шредингера для относительного движения имеет вид

$$\left\{ \frac{1}{2} \mathbf{P}_r^2 + \frac{1}{2} \mathbf{P}_\zeta^2 + \frac{\hbar^2}{8} \omega_c^2 \rho_r^2 + \frac{\hbar}{a^* \sqrt{2m^*}} \frac{Z_1 Z_2}{r} + \right. \\ \left. + \frac{1}{2} \hbar \omega_c L_{rz} - \frac{\hbar \sqrt{2f}}{a^* \sqrt{m^*}} \frac{Z_1 Z_3}{|\zeta + f\mathbf{r}|} - \right. \\ \left. - \frac{\hbar \sqrt{2f}}{a^* \sqrt{m^*}} \frac{Z_2 Z_3}{|\zeta - f\mathbf{r}|} - E \right\} \Psi(\mathbf{r}, \zeta) = 0, \quad (9)$$

где  $f = \sqrt{m_3/m_t}$ ,  $a^* = a_B \varepsilon m_e / m^*$  является эффективным радиусом системы, а  $a_B$  — радиус Бора. В следующем разделе мы определим решения уравнения Шредингера (9).

### 3. АНАЛИЗ ОТНОСИТЕЛЬНОГО ДВИЖЕНИЯ

#### 3.1. Энергетический спектр внутренней системы

В двухцентровом адиабатическом приближении [19] волновая функция относительного движения кулоновской системы трех тел представляется в виде

$$\Psi(\mathbf{r}, \zeta) = \chi(\mathbf{r}) \Phi(r, \zeta), \quad (10)$$

где  $\Phi(r, \zeta)$  — волновая функция внутренней системы. В двухцентровом приближении переменная  $r$  рассматривается как внешний параметр, т. е.  $r = \text{const}$ . Вектор  $\zeta$  представим в цилиндрической системе координат:  $\zeta = \{\rho, z, \varphi\}$ . Тогда волновая функция  $\Phi(r, \zeta)$  принимает вид

$$\Phi(r, \zeta) = \frac{e^{im\varphi}}{\sqrt{\pi}} \tilde{\Phi}_m(r; \rho, z). \quad (11)$$

Здесь  $\varphi$  — азимутальный угол, а  $m$  — магнитное квантовое число. Учитывая (11), после некоторых упрощений уравнения Шредингера (9) имеем

$$\left\{ -\frac{\hbar^2}{2} \left[ \frac{\partial^2}{\partial \rho^2} + \frac{1}{\rho} \frac{\partial}{\partial \rho} - \frac{m^2}{\rho^2} + \frac{\partial^2}{\partial z^2} \right] - \frac{Z_1 Z_3 \lambda}{\sqrt{\zeta^2 + 2frz + f^2 r^2}} - \frac{Z_2 Z_3 \lambda}{\sqrt{\zeta^2 - 2frz + f^2 r^2}} \right\} \tilde{\Phi}_m(r; \rho, z) = E_r(r) \tilde{\Phi}_m(r; \rho, z), \quad (12)$$

где  $E_r(r)$  является собственным значением гамильтонiana внутренней системы, а параметр  $\lambda$  определен соотношением

$$\lambda = \frac{\hbar \sqrt{2} f}{a^* \sqrt{m^*}}.$$

Проводя замену переменных

$$\rho = 2\sqrt{\rho_1 \rho_2}, \quad z = (\rho_1 - \rho_2) \quad (13)$$

и переходя к параболической системе координат в (12), после необходимых вычислений получаем

$$\left\{ -\frac{\hbar^2}{2} \left[ \rho_1 \frac{\partial^2}{\partial \rho_1^2} + \frac{\partial}{\partial \rho_1} + \rho_2 \frac{\partial^2}{\partial \rho_2^2} + \frac{\partial}{\partial \rho_2} - \frac{m^2}{4\rho_1} - \frac{m^2}{4\rho_2} \right] - (\rho_1 + \rho_2) E_r - \frac{Z_1 Z_3 \lambda (\rho_1 + \rho_2)}{\sqrt{(\rho_1 + \rho_2)^2 + 2fr(\rho_1 - \rho_2) + f^2 r^2}} - \frac{Z_2 Z_3 \lambda (\rho_1 + \rho_2)}{\sqrt{(\rho_1 + \rho_2)^2 - 2fr(\rho_1 - \rho_2) + f^2 r^2}} \right\} \times \tilde{\Phi}_m(r; \rho_1, \rho_2) = 0. \quad (14)$$

Перед тем как определить энергетический спектр и волновую функцию уравнения Шредингера (14) с помощью метода осцилляторного представления [16], уместно напомнить, что этот метод основан на идеях и методах квантовой теории скалярного поля. Одно из существенных отличий квантовой теории поля от квантовой механики

состоит в том, что в первой квантованных поля, представляющие набор бесконечного числа осцилляторов для основного состояния или вакуума, при квантовополевом взаимодействии сохраняют свою осцилляторную природу. В квантовой механике собственные функции для большинства потенциалов, как правило, отличаются от гауссовского поведения осцилляторной волновой функции. Поэтому для применения методов и идей квантовой теории поля к решению квантовомеханических задач следует в исходном радиальном уравнении Шредингера провести замену переменных таким образом, чтобы искомая волновая функция на больших расстояниях обладала гауссовским поведением, а трансформированное уравнение идентифицировать с радиальным уравнением Шредингера в пространстве с большой размерностью. Отметим, что впервые похожая идея обсуждалась Фоком при решении задачи о спектре атома водорода с помощью трансформации в четырехмерное пространство импульсов [20].

Следуя Фоку [21], будем считать асимптотическое поведение волновой функции внутренней системы кулоновским. В соответствии с изложенным выше проведем замену переменных следующим образом (детали см. в [16]):

$$\rho_k = q_k^2, \quad \tilde{\Phi}_m = q_1^{|m|} q_2^{|m|} \Psi_m(q_1^2, q_2^2), \quad k = 1, 2. \quad (15)$$

Используя атомную систему единиц ( $\hbar = e = c = 1$ ), получим из (14)

$$\left\{ -\frac{1}{2} \sum_{j=1}^2 \left[ \frac{\partial^2}{\partial q_j^2} + \frac{d-1}{q_j} \frac{\partial}{\partial q_j} \right] - \frac{4Z_1 Z_3 \lambda (q_1^2 + q_2^2)}{\sqrt{(q_1^2 + q_2^2)^2 + 2fr(q_1^2 - q_2^2) + f^2 r^2}} - 4E_r(q_1^2 + q_2^2) - \frac{4Z_2 Z_3 \lambda (q_1^2 + q_2^2)}{\sqrt{(q_1^2 + q_2^2)^2 - 2fr(q_1^2 - q_2^2) + f^2 r^2}} \right\} \times \Psi_m(q_1^2, q_2^2) = 0, \quad (16)$$

где  $d$  — размерность вспомогательного пространства, которая равна

$$d = 2 + 2|m|. \quad (17)$$

В результате замены переменных мы получили модифицированное уравнение Шредингера в  $d$ -мерном вспомогательном пространстве  $R^d$ . Из (16) и (17) следует, что магнитное квантовое число  $m$  вошло в определение размерности пространства  $d$ . Данный прием позволяет определить все интересующие нас

характеристики, а именно, спектр и волновую функцию, решая модифицированное уравнение Шредингера только для основного состояния в  $d$ -мерном вспомогательном пространстве  $R^d$ . Волновая функция  $\Psi_m(q_1^2, q_2^2)$  основного состояния в  $R^d$  зависит только от переменных  $q_1^2$  и  $q_2^2$ . Поэтому оператор

$$\frac{\partial^2}{\partial q_k^2} + \frac{d-1}{q_k} \frac{\partial}{\partial q_k} \equiv \Delta_{q_k}, \quad k = 1, 2 \quad (18)$$

отождествим с лапласианом  $\Delta_{q_k}$  во вспомогательном пространстве  $R^d$ , который действует на волновую функцию основного состояния, зависящую только от радиуса  $q_k$ . Исходя из модифицированного уравнения Шредингера

$$H\Psi_m(q_1, q_2) = \varepsilon(E_r)\Psi_m(q_1, q_2), \quad (19)$$

согласно (16) получаем, что энергетический спектр в  $R^d$  равен нулю:

$$\varepsilon(E_r) = 0. \quad (20)$$

Будем рассматривать это соотношение как условие определения энергетического спектра  $E_r$  гамильтониана (12). Следуя методу осцилляторного представления, представим канонические переменные через операторы рождения и уничтожения в пространстве  $R^d$ :

$$q_j^{(k)} = \frac{a_j^k + a_j^{k+}}{\sqrt{2\omega_k}}, \quad P_j^{(k)} = \sqrt{\frac{\omega_k}{2}} \frac{a_j^k - a_j^{k+}}{i}, \quad (21)$$

$$k = 1, 2, \quad j = 1, \dots, d, \quad [a_i^k, a_j^{k+}] = \delta_{i,j},$$

где  $\omega_k$  — частота осциллятора, которая пока не известна. Подставляя (21) в (16) и упорядочивая по операторам рождения и уничтожения, получаем

$$H = H_0 + \varepsilon_0(E_r) + H_I. \quad (22)$$

Здесь  $H_0$  является гамильтонианом двух несвязанных осцилляторов,

$$H_0 = \omega_1(a_j^+(1)a_j(1)) + \omega_2(a_j^+(2)a_j(2)), \quad (23)$$

а  $\varepsilon_0(E_r)$  — энергия основного состояния в нулевом приближении осцилляторного представления [16, 22], которая имеет вид

$$\begin{aligned} \varepsilon_0(E_r) = & \frac{d}{4}\omega_1 + \frac{d}{4}\omega_2 - 2\frac{dE_r}{\omega_1} - 2\frac{dE_r}{\omega_2} - 4(\omega_1\omega_2)^{d/2} \times \\ & \times \int_0^\infty \int_0^\infty \frac{d\beta_1 d\beta_2}{\Gamma^2(d/2)} \left[ \frac{Z_1 Z_3 \lambda (\beta_1 \beta_2)^{d/2-1} (\beta_1 + \beta_2)}{\sqrt{(\beta_1 + \beta_2)^2 + 2fr(\beta_1 - \beta_2) + f^2 r^2}} + \right. \\ & + \left. \frac{Z_2 Z_3 \lambda (\beta_1 \beta_2)^{d/2-1} (\beta_1 + \beta_2)}{\sqrt{(\beta_1 + \beta_2)^2 - 2fr(\beta_1 - \beta_2) + f^2 r^2}} \right] \times \\ & \times \exp(-\omega_1\beta_1 - \omega_2\beta_2). \end{aligned} \quad (24)$$

Гамильтониан взаимодействия  $H_I$  также представляется в нормальной форме по операторам рождения и уничтожения, причем он не содержит квадратичных слагаемых по каноническим переменным:

$$\begin{aligned} H_I = & -\frac{\partial}{\partial \beta} \int_0^\infty \frac{dt}{\sqrt{\pi t}} \int_{-\infty}^\infty \frac{d\tau}{\sqrt{\pi}} e^{-\tau^2} \times \\ & \times \int_{-\infty}^\infty \left( \frac{d\eta_1}{\sqrt{\pi}} \right)^d \int_{-\infty}^\infty \left( \frac{d\eta_2}{\sqrt{\pi}} \right)^d \exp[-(fr)^2 t - \eta_1^2 - \eta_2^2] \times \\ & \times \left\{ \exp \left\{ -\eta_1^2 \frac{\mu_+}{\omega_1} - \eta_2^2 \frac{\mu_-}{\omega_2} \right\} \times \right. \\ & \times F\left(2i\sqrt{\mu_+}(\eta_1 q_1), 2i\sqrt{\mu_-}(\eta_2 q_2)\right) + \\ & \left. + \exp \left\{ -\eta_1^2 \frac{\mu_-}{\omega_1} - \eta_2^2 \frac{\mu_+}{\omega_2} \right\} \times \right. \\ & \times F\left(2i\sqrt{\mu_-}(\eta_1 q_1), 2i\sqrt{\mu_+}(\eta_2 q_2)\right) \left. \right\}_{\beta=0}, \end{aligned} \quad (25)$$

где введены обозначения

$$\begin{aligned} F(y_1, y_2) = & :e_2^{-y_1}: :e_2^{-y_2}: + :e_2^{-y_2}: \left( 1 + \frac{1}{2} :y_1^2: \right) + \\ & + :e_2^{-y_1}: \left( 1 + \frac{1}{2} :y_2^2: \right), \\ \mu_\pm = & \beta \pm 2rft + 2i\sqrt{t}\tau. \end{aligned}$$

Здесь  $: \dots :$  является символом нормального упорядочения и мы использовали обозначение  $e_2^x = e^x - 1 - x - x^2/2$  (см. также [17]). Некоторые детали представления гамильтониана в нормальной форме приведены в Приложении.

Вклад гамильтониана взаимодействия  $H_I$  рассматривается как малое возмущение. В квантовой теории поля после представления канонических переменных через операторы рождения и уничтожения и представления гамильтониана взаимодействия в нормальной форме требование отсутствия в гамильтониане взаимодействия полевых операторов второй степени по существу эквивалентно перенормировкам константы связи и волновой функции [23]. Более того, такая процедура позволяет учесть основной квантовый вклад через перенормировку масс и энергию вакуума. Другими словами, все квадратичные формы полностью включены в гамильтониан свободного осциллятора. Данное требование позволяет сформулировать, согласно осцилляторному представлению, условия

$$\frac{\partial \varepsilon_0(E)}{\partial \omega_1} = 0, \quad \frac{\partial \varepsilon_0(E)}{\partial \omega_2} = 0 \quad (26)$$

для нахождения частот  $\omega_1$  и  $\omega_2$  несвязанных осцилляторов, которые определяют основной квантовый вклад. Учитывая (24), из уравнений (20) и (26) мы можем вычислить энергию  $E_r$  внутренней системы как функцию параметра  $r$ . Так как нас интересует основное состояние, в данной работе мы не будем рассматривать радиальные возбуждения. В рамках осцилляторного представления для различных потенциалов [17, 22, 24] неоднократно проверялось, что поправка первого порядка, связанная с гамильтонианом взаимодействия, тождественно равна нулю, а поправка второго порядка меньше одного процента. Поэтому мы ограничимся рассмотрением только нулевого приближения.

Энергия  $E_r$  в этом приближении равна

$$\begin{aligned} E_r = & \frac{\omega_1\omega_2}{8} - \frac{2}{d} \frac{(\omega_1\omega_2)^{d/2+1}}{\omega_1 + \omega_2} \times \\ & \times \int_0^\infty \int_0^\infty \frac{d\beta_1 d\beta_2}{\Gamma^2(d/2)} (\beta_1\beta_2)^{d/2-1} \times \\ & \times \left[ \frac{Z_1 Z_3 \lambda (\beta_1 + \beta_2)}{\sqrt{(\beta_1 + \beta_2)^2 + 2fr(\beta_1 - \beta_2) + f^2 r^2}} + \right. \\ & + \left. \frac{Z_2 Z_3 \lambda (\beta_1 + \beta_2)}{\sqrt{(\beta_1 + \beta_2)^2 - 2fr(\beta_1 - \beta_2) + f^2 r^2}} \right] \times \\ & \times \exp\{-\omega_1\beta_1 - \omega_2\beta_2\}. \end{aligned} \quad (27)$$

Введем новые параметры:

$$\omega_+ = \frac{\omega_1 + \omega_2}{2}, \quad \omega_- = \frac{\omega_1 - \omega_2}{2}, \quad (28)$$

которые определяются из уравнения (26) с учетом выражений (24) и (27) как функции величины  $r$ .

Отметим, что в нашем подходе нарушение сферической симметрии контролируется параметром  $\omega_-$ .

### 3.2. Структура потенциала удержания

Приступим к рассмотрению задачи о потенциале удержания. Учитывая (12), подставляя (10) в (9), после преобразований (в обычной системе единиц) получаем

$$\left[ \frac{1}{2} \mathbf{P}_r^2 + \frac{\hbar^2}{8} \omega_c^2 \rho_r^2 + \frac{\hbar}{a^* \sqrt{2m^*}} \frac{Z_1 Z_2}{r} - E + \frac{\hbar\omega_c}{2} L_{rz} + V_c(r) \right] \chi(\mathbf{r}) = 0, \quad (29)$$

где  $E$  — энергетический спектр исходной системы, а величина  $V_c(r)$  есть искомый потенциал удержания:

$$V_c(r) = E_r(r) + \frac{1}{4} \left( \frac{1}{\omega_+} \frac{\partial}{\partial r} \omega_+ \right)^2. \quad (30)$$

Первое слагаемое в (30),  $E_r(r)$ , — потенциал (27), создаваемый электростатическим полем заряда изображений, а второе слагаемое связано с относительным движением частиц и определяется усреднением полного гамильтониана (9) по волновой функции  $\Phi(r, \zeta)$  внутренней системы. Очевидно, что полученный потенциал удержания содержит различные решения в зависимости от характера кулоновского взаимодействия и величины магнитного поля. В данной работе мы ограничимся рассмотрением лишь сферически-симметричного решения  $\omega_- = 0$ , т. е.  $\omega_1 = \omega_2 \equiv \omega$ . В этом случае имеем

$$\begin{aligned} V_c(r) = & \frac{\omega^2}{8} + \frac{1}{4} \left( \frac{1}{\omega} \frac{\partial \omega}{\partial r} \right)^2 - \\ & - \frac{\lambda \omega}{2} (Z_1 Z_3 + Z_2 Z_3) \left[ 2 \frac{1 - e^{-fr\omega}}{fr\omega} - e^{-fr\omega} \right], \end{aligned} \quad (31)$$

где  $\omega$  определяется уравнением

$$\omega - 2\lambda(Z_1 Z_3 + Z_2 Z_3)(1 + fr\omega)e^{-fr\omega} = 0. \quad (32)$$

Таким образом, в нашей модели двухэлектронной квантовой точки потенциал удержания отличается от потенциала параболического конфайнмента и определяется выражением (31) и уравнением (32).

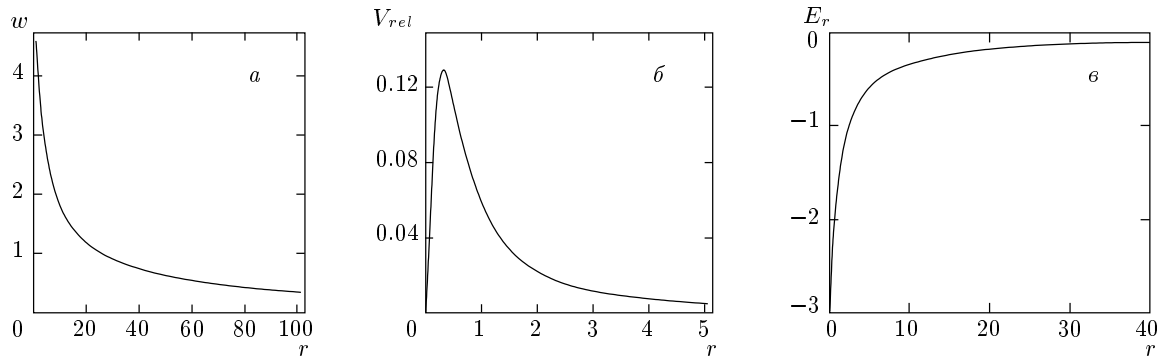
Рассматривая предел  $r \ll 1$  и разлагая потенциал  $V_c$  в ряд Тейлора по переменной  $r$ , получаем

$$\begin{aligned} V_c(r) = & -\frac{\hbar\omega_0}{8} + \hbar^2 \left( \frac{1}{24} + \frac{f^2}{4} \right) f^2 \omega_0^2 r^2 - \\ & - \left( \frac{1}{48} + \frac{f^2}{4} \right) \hbar^{3/2} \omega_0^{3/2} r^3 + \hbar^3 \frac{\omega_0^3 f^4}{60} r^4 + O(r^5), \end{aligned} \quad (33)$$

где

$$\omega_0 = \left( 4Z_3 \frac{f \sqrt{2\hbar}}{a^* \sqrt{m^*}} \right)^2. \quad (34)$$

Ограничиваюсь только второй степенью по  $r$  в (33), получаем потенциал параболического конфайнмента с частотой конфайнмента  $\omega_0$ . Из (31), (33), (34) следует, что свойства потенциала зависят от заряда изображений и эффективной массы электронов. Данная зависимость включается в конечное выражение для энергетического спектра через параметры  $\omega_0$  и  $f$ . Если масса заряда изображений создается



**Рис. 1.** Зависимости частоты осциллятора (a), потенциала, созданного относительным движением электронов, (б) и потенциала, созданного электростатическим полем заряда изображений, (в) от расстояния между двумя электронами

всеми электронами окружающей среды или тяжелыми ионами, то параметр  $f \approx 1$  (для  $m_1 = m_2 = m_3$   $f = 1/\sqrt{3}$ ). Характеристическая длина квантовой точки (ямы) [8, 9], образованной на границе двух сред,

$$\ell_0 \equiv \sqrt{\frac{\hbar}{m^* \omega_0}} = \frac{a^*}{4Z_3 f \sqrt{2}},$$

также зависит от заряда изображений.

Используя конкретные значения параметров для случая квантовой точки, например  $Z_1 = Z_2 = Z_3 = 1$  и  $m_1 = m_2 = m_3$ , можно определить зависимость частоты осциллятора  $\omega$  от величины  $r$  из уравнения (32). Соответственно, это позволяет определить зависимость потенциала,

$$E_r(r) = \frac{\omega^2}{8} - \lambda \omega \left[ 2 \frac{1 - e^{-fr\omega}}{fr\omega} - e^{-fr\omega} \right], \quad (35)$$

создаваемого электростатическим полем заряда изображений, а также потенциала

$$V_{rel} = \frac{1}{4} \left( \frac{1}{\omega} \frac{\partial \omega}{\partial r} \right)^2, \quad (36)$$

связанного с относительным движением электронов, от параметра  $r$ . Из рис. 1а видно, что при возрастании  $r$  частота осциллятора  $\omega$  плавно уменьшается от 4.619 до 0. Потенциал  $V_{rel}$  в начале координат равен нулю, на малых расстояниях он возрастает, а затем при дальнейшем возрастании  $r$  быстро убывает (рис. 1б). Потенциал  $E_r(r)$  при  $r = 0$  является конечным, т. е. сингулярность отсутствует, а при  $r = \infty$  убывает как кулоновский. Величина потенциала  $V_{rel}$  на порядок меньше абсолютного значения  $E_r(r)$ . Таким образом, основной вклад в потенциал удержания определяется взаимодействием электронов в электростатическом поле заряда изображений.

#### 4. ЭНЕРГЕТИЧЕСКИЙ СПЕКТР

В данном разделе осцилляторное представление [16] применяется для вычисления энергетического спектра двухэлектронной системы с потенциалом  $V_c(r)$  (33). Для иллюстрации рассмотрим случай  $z = 0$ , т. е. двумерную систему, которая может служить моделью квантовой точки. Согласно (29) и (33), гамильтониан относительного движения двухэлектронной системы имеет вид

$$H = \frac{\hbar^2}{2} \left[ \frac{\partial^2}{\partial \rho^2} + \frac{1}{\rho} \frac{\partial}{\partial \rho} - \frac{m^2}{\rho^2} \right] + \frac{\hbar^2}{2} \Omega^2 \rho^2 + \frac{k \sqrt{\hbar \omega_0}}{\rho} - \hbar^2 \sqrt{\hbar W} \rho^3 + \hbar^3 G \rho^4 - \frac{\hbar \omega_0}{8} + \frac{1}{2} m \hbar \omega_c, \quad (37)$$

где  $m = 0, \pm 1, \dots$  — магнитное квантовое число и

$$\omega_r^2 = \frac{\lambda^2 \omega_0^2}{12}, \quad W = \frac{\lambda^3}{48} \omega_0^2 \sqrt{\omega_0}, \quad (38)$$

$$\Omega = \sqrt{\omega_r^2 + \frac{\omega_c^2}{4}}, \quad G = \frac{\lambda^4 \omega_0^3}{160}, \quad k = \frac{\ell_0}{a^*}.$$

Уравнение Шредингера для гамильтониана (37) принимает вид

$$\left[ \frac{1}{2} P_\rho^2 + \frac{\hbar^2}{2} \Omega^2 \rho^2 + \frac{k \sqrt{\hbar \omega_0}}{\rho} - \hbar^{3/2} W \rho^3 + \hbar^3 G \rho^4 \right] \Psi_m = U_m \Psi_m. \quad (39)$$

Здесь  $U_m$  — энергетический параметр,

$$U_m = E_m + \frac{\hbar \omega_0}{8} - \frac{m}{2} \hbar \omega_c. \quad (40)$$

Прежде всего рассмотрим чисто параболический потенциал, т. е.  $W = 0$  и  $G = 0$ . В этом случае для энергетического спектра получим (детали см. в [9])

$$E_m = \hbar\omega_0 \left\{ -\frac{1}{8} + t\frac{m}{2} + x^2(1+|m|) \times \right. \\ \times \sqrt{\frac{f^2}{2} \left( \frac{1}{6} + f^2 \right) + \frac{t^2}{4}} + \frac{3kx}{2} \left[ \frac{f^2}{2} \left( \frac{1}{6} + f^2 \right) + \frac{t^2}{4} \right]^{1/4} \times \\ \times \left. \frac{\Gamma(|m|+1/2)}{\Gamma(1+|m|)} + \frac{t}{4}[1-(-1)^m]\frac{m^*}{m_e}g^* \right\}. \quad (41)$$

Параметр  $x$  определяется из уравнения

$$x^4 + x^3 k \left[ \frac{f^2}{2} \left( \frac{1}{6} + f^2 \right) + \frac{t^2}{4} \right]^{-1/4} \times \\ \times \frac{\Gamma(|m|+1/2)}{\Gamma(2+|m|)} - 1 = 0. \quad (42)$$

Здесь  $t = \omega_c/\omega_0$  — относительная напряженность магнитного поля, а  $g^*$  является эффективным фактором Ланде. В выражение (41) также включен вклад эффекта Зеемана, связанный со спиновым взаимодействием двух электронов в магнитном поле. Выражения (41) и (42) дают возможность определить основные состояния квантовой точки как функции ее размера  $k = \ell_0/a^*$  и относительной напряженности магнитного поля  $t$ .

Перейдем к вычислению энергетического спектра гамильтониана (39). В этом случае замена переменных представляется следующим образом:

$$\rho = q^{2\alpha}, \quad \Psi_m = q^{2\alpha|m|}\Phi_m(q), \quad (43)$$

где параметр  $\alpha$  связан с поведением волновой функции на больших расстояниях. Потенциал содержит ангармонические члены, и при определении параметра  $\alpha$  будем следовать результатам работы [22]. Для больших  $\rho$  асимптотика волновой функции определяется ангармоническим членом  $G\rho^4$ , при этом  $\alpha = 1/3$ . При малых значениях  $G$  и  $W$  истинная волновая функция ближе к гауссовской волновой функции, поэтому  $\alpha = 1/2$ . Этот предел соответствует потенциальному параболическому конфайнменту. Таким образом, параметр  $\alpha$ , рассматриваемый в качестве вариационного параметра при минимизации энергии основного состояния в нулевом приближении [22], может изменяться в интервале  $1/3 \leq \alpha \leq 1/2$ . На рис. 2 представлена зависимость параметра  $\alpha$  от напряженности магнитного поля  $t = \omega_c/\omega_0$  для состояний  $m = -1, -2, -3, \dots$ . Результаты анализа показывают, что для состояний с небольшим абсолютным значением магнитного квантового числа  $m$  параметр  $\alpha < 1/2$ . С ростом

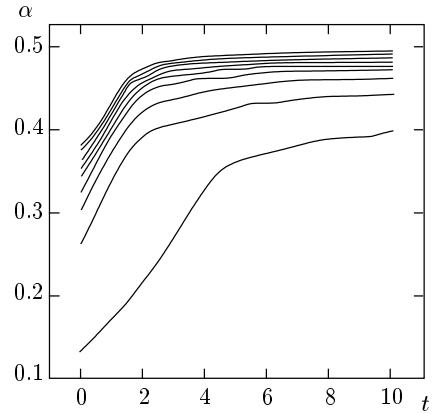


Рис. 2. Зависимость параметра  $\alpha$  от относительной напряженности внешнего магнитного поля  $t$  для различных значений магнитного квантового числа  $m$ . Нижний уровень соответствует  $m = -1$ , следующий  $m = -2$  и т. д.

величины магнитного поля параметр  $\alpha$  асимптотически стремится к пределу  $\alpha = 1/2$ , соответствующему гауссовской волновой функции. Отметим, что в осцилляторном представлении, благодаря введению параметра  $\alpha$ , удается избежать проблемы суммирования рядов теории возмущений, т. е. успешно обойти проблему феномена Дайсона [25].

После некоторых преобразований уравнения (39) получим модифицированное уравнение Шредингера

$$\left\{ -\frac{\hbar^2}{2} \left[ \frac{\partial^2}{\partial q^2} + \frac{d-1}{q} \frac{\partial}{\partial q} \right] + 4k\sqrt{\hbar\omega_0}\alpha^2 q^{2(\alpha-1)} + \right. \\ \left. + 2\alpha^2\hbar^2\Omega^2 q^{2(4\alpha-1)} - 4\hbar^{3/2}\alpha^2 W q^{2(5\alpha-1)} + \right. \\ \left. + 4\alpha^2\hbar^3 G q^{2(6\alpha-1)} - 4\alpha^2 U_m q^{2(2\alpha-1)} \right\} \times \\ \times \Phi_m(q^2) = 0, \quad (44)$$

где  $d = 2 + 4|\alpha|m|$ . Энергия основного состояния в нулевом приближении равна

$$\varepsilon_0(U_m) = \frac{d\omega\hbar}{4} - \frac{4\alpha^2 U_m}{(\omega\hbar)^{2\alpha-1}} \frac{\Gamma(d/2 + 2\alpha - 1)}{\Gamma(d/2)} + \\ + \frac{4k\sqrt{\hbar\omega_0}\alpha^2}{(\omega\hbar)^{\alpha-1}} \frac{\Gamma(d/2 + \alpha - 1)}{\Gamma(d/2)} - \\ - \frac{4\hbar^{3/2}\alpha^2 W}{(\omega\hbar)^{5\alpha-1}} \frac{\Gamma(d/2 + 5\alpha - 1)}{\Gamma(d/2)} + \\ + \frac{2\alpha^2\hbar^3\Omega^2}{(\omega\hbar)^{4\alpha-1}} \frac{\Gamma(d/2 + 4\alpha - 1)}{\Gamma(d/2)} + \\ + \frac{4\alpha^2\hbar^3 G}{(\omega\hbar)^{6\alpha-1}} \frac{\Gamma(d/2 + 6\alpha - 1)}{\Gamma(d/2)}, \quad (45)$$

а для гамильтониана взаимодействия имеем

$$\begin{aligned} H_I = & \int_0^\infty d\tau \int_{-\infty}^\infty \left( \frac{d\eta}{\sqrt{\pi}} \right)^d e^{-\eta^2(1+\tau)} : e_2^{-2i\sqrt{\hbar\omega}(q\eta)} : \\ & \times \left[ \frac{4k\sqrt{\hbar\omega}\alpha^2}{(\omega\hbar)^{\alpha-1}} \frac{\tau^{-\alpha}}{\Gamma(1-\alpha)} - \right. \\ & - \frac{4\hbar^2\sqrt{\hbar\alpha^2}W}{(\omega\hbar)^{5\alpha-1}} \frac{\tau^{-5\alpha}}{\Gamma(1-5\alpha)} - \frac{4U_m\alpha^2}{(\omega\hbar)^{2\alpha-1}} \frac{\tau^{-2\alpha}}{\Gamma(1-2\alpha)} + \\ & \left. + \frac{2\alpha^2\hbar^2\Omega^2}{(\omega\hbar)^{4\alpha-1}} \frac{\tau^{-4\alpha}}{\Gamma(1-4\alpha)} + \frac{4\alpha^2\hbar^3G}{(\omega\hbar)^{6\alpha-1}} \frac{\tau^{-6\alpha}}{\Gamma(1-6\alpha)} \right]. \quad (46) \end{aligned}$$

Из уравнения

$$\frac{\partial \varepsilon_0(U_m)}{\partial \omega} = 0 \quad (47)$$

определяем параметр  $\omega$  как функцию энергии  $U_m$ , а также и другие параметры потенциала.

Учитывая (47), (45) и используя обозначения (38), после необходимых преобразований для энергетического спектра получаем

$$\begin{aligned} \frac{E_m}{\hbar\omega_0} = & \min_\alpha \left\{ -\frac{1}{8} + \frac{tm}{2} + \frac{tm^*}{4m_e} [1 - (-1)^m] g^* + \right. \\ & + \frac{z^2}{4\alpha} \frac{\sqrt{\Gamma(2+2\alpha|m|)\Gamma(4\alpha+2\alpha|m|)}}{\Gamma(2\alpha+2\alpha|m|)} \sqrt{\frac{f^2}{3} + t^2} + \\ & + \frac{3kz\sqrt{\alpha}}{2} \frac{\Gamma(\alpha+2\alpha|m|)}{\Gamma(2\alpha+2\alpha|m|)} \times \\ & \times \left[ \frac{\Gamma(4\alpha+2\alpha|m|)}{\Gamma(2+2\alpha|m|)} \left( \frac{f^2}{3} + t^2 \right) \right]^{1/4} + \\ & + \frac{f^3}{96z^3\alpha^{3/2}} \frac{\Gamma(5\alpha+2\alpha|m|)}{\Gamma(2+2\alpha|m|)} \times \\ & \times \left[ \frac{\Gamma(2+2\alpha|m|)}{\Gamma(4\alpha+2\alpha|m|)} \left( \frac{f^2}{3} + t^2 \right)^{-1} \right]^{3/4} - \\ & - \frac{f^4}{160z^4\alpha^2} \frac{\Gamma(6\alpha+2\alpha|m|)}{\Gamma(2+2\alpha|m|)} \frac{\Gamma(2+2\alpha|m|)}{\Gamma(4\alpha+2\alpha|m|)} \times \\ & \times \left. \left( \frac{f^2}{3} + t^2 \right)^{-1} \right\}. \quad (48) \end{aligned}$$

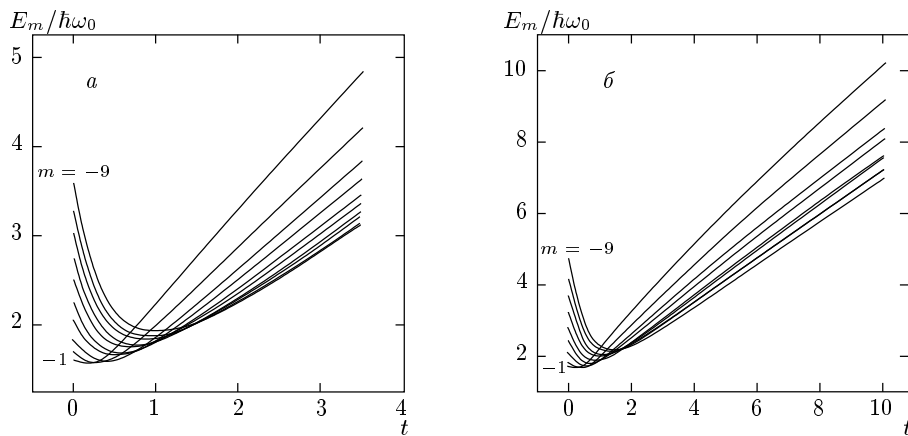
Параметр  $z$  определяется из уравнения

$$\begin{aligned} & z^4 + 4ka^{3/2}z^3 \frac{\Gamma(\alpha+2\alpha|m|)}{\Gamma(2+2\alpha|m|)} \times \\ & \times \left[ \frac{\Gamma(2+2\alpha|m|)}{\Gamma(4\alpha+2\alpha|m|)} \left( \frac{f^2}{3} + t^2 \right)^{-1} \right]^{1/4} - \\ & - 1 + \frac{f^3}{4z\sqrt{\alpha}} \frac{\Gamma(5\alpha+2\alpha|m|)}{\Gamma(2\alpha+2\alpha|m|)} \times \\ & \times \left[ \frac{\Gamma(2+2\alpha|m|)}{\Gamma(4\alpha+2\alpha|m|)} \left( \frac{f^2}{3} + t^2 \right)^{-1} \right]^{5/4} - \\ & - \frac{f^4}{z^2 10\alpha} \frac{\Gamma(6\alpha+2\alpha|m|)}{\Gamma(2\alpha+2\alpha|m|)} \times \\ & \times \left[ \frac{\Gamma(2+2\alpha|m|)}{\Gamma(4\alpha+2\alpha|m|)} \left( \frac{f^2}{3} + t^2 \right)^{-1} \right]^{3/2} = 0. \quad (49) \end{aligned}$$

Очевидно, что энергетический спектр (48) отличается от энергетического спектра (41), обусловленного параболическим характером потенциала удержания. Из рис. 3 следует, что зависимости энергетического спектра от размера квантовой точки  $k = \ell/a^*$  и относительной напряженности магнитного поля  $t = \omega_c/\omega_0$  для параболического и квазипараболического потенциалов являются аналогичными. Однако в слабых магнитных полях синглет-триплетные переходы для квазипараболического потенциала происходят при более высоких значениях магнитного поля (ср. рис. 3а и 3б). Мы ожидаем, что в слабых магнитных полях потенциал удержания будет отличаться от потенциала параболического конфайнмента. В то же время в сильных магнитных полях,  $\omega_c \gg \omega_0$ , т. е. в пределе  $t \rightarrow \infty$ , из анализа выражений (48) и (49) следует, что вклад потенциала (33), связанного с квазипараболической структурой, менее заметен ( $z \sim 1$ ). Таким образом, в сильных магнитных полях гипотеза о параболическом характере потенциала удержания для двухэлектронной системы является вполне оправданной. В наших вычислениях мы использовали следующие характерные для GaAs величины: эффективная масса  $m^* = 0.067m_e$  и  $g^* = -0.44$ .

## 5. ЗАКЛЮЧЕНИЕ

Исходя из предположения о существовании заряда изображений, который может быть обусловлен большой разностью диэлектрических проницаемостей слоев, формирующих квантовую точку, или наличием примеси в полупроводнике, мы сформулировали модель двухэлектронной квантовой точки.



**Рис. 3.** Энергетические спектры гамильтониана относительного движения с учетом эффекта Зеемана в зависимости от относительной напряженности внешнего магнитного поля  $t$  для параболического (а) и квазипараболического (б) потенциалов, рассчитанных соответственно по формулам (41) и (48)

Модель позволяет самосогласованным образом определить эффективный потенциал удержания электронов, который зависит от эффективной массы электрона и характеристик заряда изображений.

Используя осцилляторное приближение, мы аналитически вычислили энергетический спектр квантовой точки при различных значениях магнитного поля. Разделение полного гамильтониана на гамильтониан движения центра масс и гамильтониан относительного движения дает два типа решений. Энергетический спектр гамильтониана центра масс является гармоническим и определяется кинетическим движением электронов, циклотронной частотой и отношением эффективной массы электрона к сумме масс двух электронов и заряда изображений. Подчеркнем, что данное решение не зависит от потенциала удержания электронов в отличие от случая Фока–Дарвина. Другое решение определяет потенциал удержания. В предложенной модели потенциал удержания полностью обусловлен взаимодействием электронов в поле заряда изображений. Результаты анализа позволяют утверждать, что потенциал удержания в квантовой точке может заметно отличаться от параболического типа, особенно при малых значениях магнитного поля, что может быть проверено при анализе спиновых осцилляций основного состояния двухэлектронной системы в магнитных полях. При этом наличие отклонения потенциала удержания от потенциала параболического конфайнмента не противоречит теореме Конга [26], которая справедлива для случая электрон–электронного взаимодействия, зависящего только от относительного расстояния.

Данная работа выполнена при частичной финансовой поддержке Российского фонда фундаментальных исследований (проект 00-02-17194).

## ПРИЛОЖЕНИЕ

Важным элементом вычислений в осцилляторном приближении [16] является представление канонических переменных в нормальной форме. Поэтому приведем детали этого представления для различных потенциалов. Рассмотрим следующую величину:

$$I = \frac{q^2}{\sqrt{q^4 + 2\gamma x q^2 + \gamma^2}} = \\ = -\frac{\partial}{\partial \beta} \int_0^\infty \frac{dt}{\sqrt{\pi t}} \exp [-\beta q^2 - t(q^4 + 2\gamma x q^2 + \gamma^2)] \Big|_{\beta=0}, \quad (\text{П.1})$$

где  $q_j$  — вектор во вспомогательном пространстве  $R^d$ . Учитывая соотношения ( $q_j, \eta_j \in R^d$ )

$$\exp(-tq^4) = \int_{-\infty}^{\infty} \frac{d\tau}{\sqrt{\pi}} \exp(-\tau^2 - 2i\sqrt{t}\tau q^2), \\ \exp(-q^2 \kappa) = \int_{-\infty}^{\infty} \left( \frac{d\eta}{\sqrt{\pi}} \right)^d \exp[-\eta^2 - 2i\sqrt{\kappa}(q\eta)], \quad (\text{П.2})$$

подставляя (П.2) в (П.1) и используя выражения (21) для канонической переменной  $q_j$ , проведем нормальное упорядочение по операторам рождения  $a_j^+$  и уничтожения  $a_j$ . В результате имеем

$$\begin{aligned} I = & -\frac{\partial}{\partial \beta} \int_0^\infty \frac{dt}{\sqrt{\pi t}} \exp(-\gamma^2 t) \int_{-\infty}^\infty \frac{d\tau}{\sqrt{\pi}} \exp(-\tau^2) \times \\ & \times \int_{-\infty}^\infty \left( \frac{d\eta}{\sqrt{\pi}} \right)^d \exp \left[ -\eta^2 \left( 1 + \frac{\kappa}{\omega} \right) \right] \times \\ & \times : \exp[-2i\sqrt{\kappa}(q\eta)] : \Bigg|_{\beta=0}, \quad (\text{П.3}) \end{aligned}$$

где

$$\kappa = \beta + 2\gamma xt + 2i\sqrt{t}. \quad (\text{П.4})$$

Используя представление (П.3), получим выражения (24) для энергии основного состояния  $\varepsilon_0(E)$  и (25) для гамильтониана взаимодействия  $H_I$ .

При анализе гамильтониана (44) с квазипарabolическим потенциалом нам необходимо представить в нормальной форме величину  $q^{2\tau}$ , где  $\tau$  принимает любые значения. Для этого используем соотношение

$$\begin{aligned} q^{2\tau} = & \int_0^\infty \frac{dx}{\Gamma(-\tau)} x^{-1-\tau} \exp(-xq^2) = \\ = & \int_0^\infty \frac{dx}{\Gamma(-\tau)} x^{-1-\tau} \int_{-\infty}^\infty \left( \frac{d\eta}{\sqrt{\pi}} \right)^d \times \\ & \times \exp \left[ -\eta^2 \left( 1 + \frac{x}{\omega} \right) \right] : \exp[-2i\sqrt{x}(q\eta)] : = \\ = & \frac{1}{\omega^\tau} \frac{\Gamma(d/2 + \tau)}{\Gamma(d/2)} + : q^2 : \frac{\tau}{\omega^{\tau-1}} \frac{\Gamma(d/2 + \tau)}{\Gamma(d/2 + 1)} + \\ & + \frac{1}{\omega^\tau} \int_0^\infty \frac{dx}{\Gamma(-\tau)} x^{-1-\tau} \int_{-\infty}^\infty \left( \frac{d\eta}{\sqrt{\pi}} \right)^d \times \\ & \times \exp[-\eta^2(1+x)] : \exp_2[-2i\sqrt{x\omega}(q\eta)] : . \quad (\text{П.5}) \end{aligned}$$

Теперь изложим детали вычисления интегралов следующего вида:

$$\begin{aligned} J = & \int_0^\infty \int_0^\infty \frac{d\beta_1 d\beta_2}{\Gamma^2(d/2)} \times \\ & \times \frac{(\beta_1 \beta_2)^{d/2-1} (\beta_1 + \beta_2) \exp(-\omega_1 \beta_1 - \omega_2 \beta_2)}{\sqrt{\gamma^2 - 2\gamma(\beta_1 - \beta_2) + (\beta_1 + \beta_2)^2}}. \quad (\text{П.6}) \end{aligned}$$

Прежде всего проведем замены переменных:

$$\begin{aligned} s = & \frac{\beta_1 - \beta_2}{\sqrt{2}}, \quad t = \frac{\beta_1 + \beta_2}{\sqrt{2}}, \\ \beta_1 = & \frac{s+t}{\sqrt{2}}, \quad \beta_2 = \frac{t-s}{\sqrt{2}}. \end{aligned} \quad (\text{П.7})$$

При этом интеграл (П.6) записывается в виде

$$\begin{aligned} J = & \frac{\gamma^d}{2^{d-1}} \int_0^\infty dt \int_{-1}^1 dx \frac{(1-x^2)^{d/2-1} t^d}{\Gamma^2(d/2)} \times \\ & \times \frac{\exp[-\omega_+ t\gamma - \omega_- xt\gamma]}{\sqrt{1-2xt+t^2}}, \quad (\text{П.8}) \end{aligned}$$

где

$$\omega_+ = \frac{\omega_1 + \omega_2}{2}, \quad \omega_- = \frac{\omega_1 - \omega_2}{2}, \quad d = 2 + 2|m|.$$

Будем рассматривать случай  $\omega_- = 0$ . Для вычисления интеграла (П.8) будем использовать следующие соотношения [27]:

$$\begin{aligned} \frac{1}{\sqrt{1-2xt+t^2}} = & \sum_{k=0}^{\infty} \begin{cases} t^k P_k(x), & |t| \leq 1, \\ t^{-1-k} P_k(x), & |t| \geq 1. \end{cases} \\ \int_{-1}^1 dx x^{2j} P_{2k}(x) = & \frac{\Gamma(j+1)}{\Gamma(1+j-k)} \frac{\Gamma(1/2+j)}{\Gamma(k+3/2+j)}. \end{aligned} \quad (\text{П.9})$$

Здесь  $P_{2k}(x)$  — полином Лежандра. Учитывая эти представления, получим из (П.8)

$$\begin{aligned} J = & \frac{\gamma^{2(|m|+1)}}{2^{2|m|+1}} \sum_{j=0}^{|m|} \frac{(-1)^j}{|m|!(|m|-j)!} \times \\ \times & \sum_{k=0}^j \left\{ \int_0^1 dt \exp(-\omega_+ t\gamma) \left( t^{2|m|+2+2k} - t^{2|m|-2k+1} \right) + \right. \\ & \left. + \frac{\Gamma(2|m|-2k+2)}{(\gamma\omega_+)^{2(|m|+1-k)}} \right\} \times \\ & \times \frac{\Gamma(1/2+j)}{\Gamma(1+j-k)\Gamma(k+3/2+j)}. \quad (\text{П.10}) \end{aligned}$$

Следующий интеграл вычисляется точно:

$$\begin{aligned} \int_0^1 dt t^n e^{-At} = & (-1)^n \frac{\partial^n}{\partial A^n} \int_0^1 dt e^{-At} = \\ = & (-1)^n \frac{\partial^n}{\partial A^n} \frac{1-e^{-A}}{A}, \quad n = 0, 1, \dots \quad (\text{П.11}) \end{aligned}$$

Применяя эти соотношения, получаем выражения (31), (П.6)–(П.11) для потенциала удержания (33).

## ЛИТЕРАТУРА

1. T. Chakraborty, *Comments Condens. Matter Phys.* **16**, 35 (1992); M. A. Kastner, *Phys. Today* **46**, 24 (1993).
2. R. Turton, *The Quantum Dot. A Journey into Future Microelectronics*, Oxford University Press, New York (1995).
3. L. Jacak, P. Hawrylak, and A. Wojs, *Quantum Dots*, Springer-Verlag, Berlin (1997).
4. M. Macucci, K. Hess, and G. J. Iafrate, *Phys. Rev. B* **48**, 17354 (1993); *J. Appl. Phys.* **77**, 3267 (1995).
5. W. D. Heiss and R. G. Nazmitdinov, *Phys. Lett. A* **222**, 309 (1996); *Phys. Rev. B* **55**, 16310 (1997); Письма в ЖЭТФ **68**, 870 (1998).
6. S. Tarucha, D. G. Austing, T. Honda et al., *Phys. Rev. Lett.* **77**, 3613 (1996).
7. M. Maksym and T. Chakraborty, *Phys. Rev. Lett.* **65**, 108 (1990); *Phys. Rev. B* **45**, 1947 (1992).
8. U. Merkt, J. Huser, and M. Wagner, *Phys. Rev. B* **43**, 7320 (1991); M. Wagner, U. Merkt, and A. V. Chaplik, *Phys. Rev. B* **45**, 1951 (1992).
9. M. Dineykhan and R. G. Nazmitdinov, *Phys. Rev. B* **55**, 13707 (1997); *J. Phys.: Condens. Matter* **11**, L83 (1999).
10. Bo Su, V. J. Goldman, and J. E. Cunningham, *Phys. Rev. B* **46**, 7644 (1992).
11. R. C. Ashoori, H. L. Stormer, J. S. Weiner et al., *Phys. Rev. Lett.* **71**, 613 (1993); R. C. Ashoori, *Nature* (London) **379**, 413 (1996).
12. T. Demel, D. Heitmann, P. Grambow, and K. Ploog, *Phys. Rev. Lett.* **64**, 788 (1990).
13. D. Phannkuche and R. R. Gerhardts, *Phys. Rev. B* **43**, 12098 (1991); *Phys. Rev. B* **44**, 13132 (1991).
14. Л. Д. Ландау, Е. М. Лифшиц, *Электродинамика сплошных сред*, Наука, Москва (1982).
15. Н. А. Гиппиус, В. Д. Кулаковский, С. Г. Тиходеев, УФН **167**, 558 (1997); Е. А. Муляров, С. Г. Тиходеев, ЖЭТФ **111**, 274 (1997).
16. М. Динейхан, Г. В. Ефимов, ЭЧАЯ **26**, 651 (1995); M. Dineykhan, G. V. Efimov, G. Ganbold, and S. N. Nedelko, *Oscillator Representation in Quantum Physics*, Lecture Notes in Physics, **m 26**, Springer-Verlag, Berlin (1995).
17. M. Dineykhan and R. G. Nazmitdinov, ЯФ **62**, 143 (1999).
18. V. Fock, *Z. Phys.* **47**, 446 (1928); C. G. Darwin, *Proc. Cambridge Phil. Soc.* **27**, 86 (1930).
19. И. В. Комаров, Л. И. Пономарев, С. Ю. Славянов, *Сфериодальные и кулоновские сфероидальные функции*, Наука, Москва (1976); С. И. Виницкий, Л. И. Пономарев, ЭЧАЯ **13**, 1336 (1982).
20. В. А. Фок, *Начала квантовой механики*, Наука, Москва (1976).
21. В. А. Фок, Изв. АН СССР, серия физ. **18**, 161 (1954).
22. M. Dineykhan and G. V. Efimov, *Rep. Math. Phys.* **36**, 287 (1995); ЯФ **59**, 862 (1996).
23. E. S. Fradkin, *Nucl. Phys.* **49**, 624 (1963); K. Hayashi, M. Hirayama, T. Muta et al., *Fortschr. Phys.* **15**, 625 (1967); A. Salam, *Nonpolynomial Lagrangians. Renormalization and Gravity*, Gordon and Breach Science Publ., New York (1971).
24. M. Dineykhan, *Z. Phys. D* **41**, 77 (1997).
25. F. J. Dyson, *Phys. Rev.* **85**, 631 (1952).
26. W. Kohn, *Phys. Rev.* **123**, 1242 (1961).
27. И. С. Градштейн, И. М. Рыжик, *Таблицы интегралов, сумм, рядов и произведений*, Физматгиз, Москва (1962).